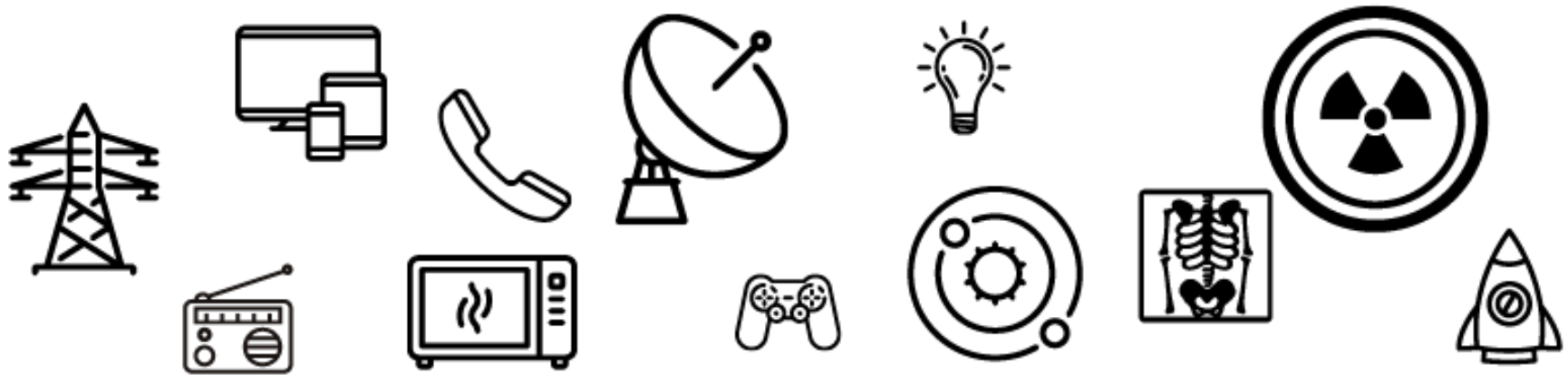


PRODUÇÃO DE RADIAÇÃO EM JATOS RELATIVÍSTICOS EM NÚCLEOS ATIVOS DE GALÁXIAS

Luiz Augusto Stuani Pereira (luizstuani@uaf.ufcg.edu.br)



ESPECTRO ELETROMAGNÉTICO



Ondas de rádio

Microondas

Infravermelho

Luz visível

Ultra-violeta

Raios X

Raios Gama

Raios cósmicos

Radiação não ionizante

Radiação ionizante



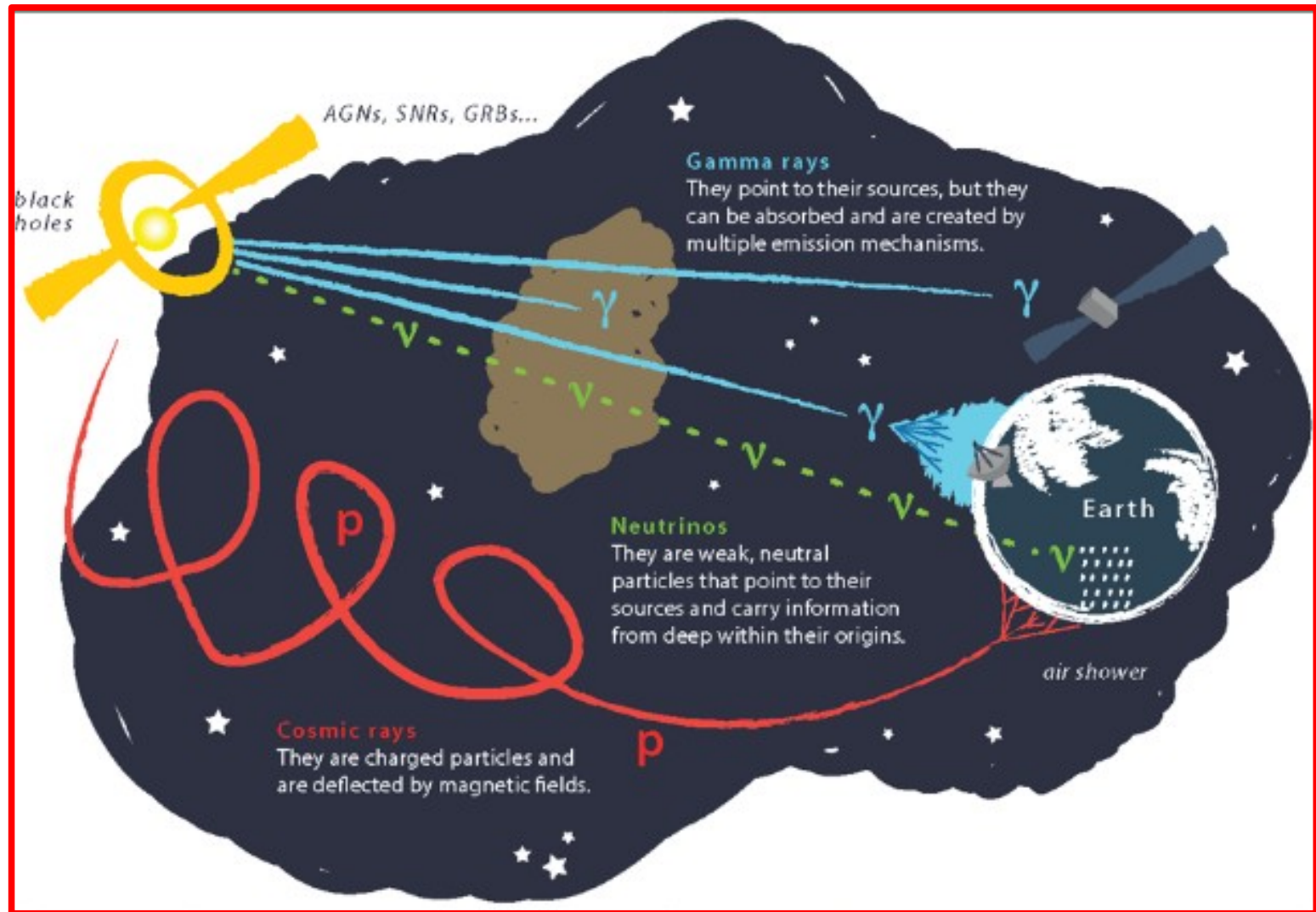
Frequência

Hz 10^4 10^5 10^6 10^7 10^8 10^9 10^{10} 10^{11} 10^{12} 10^{13} 10^{14} 10^{15} 10^{16} 10^{17} 10^{19} 10^{21} 10^{23}

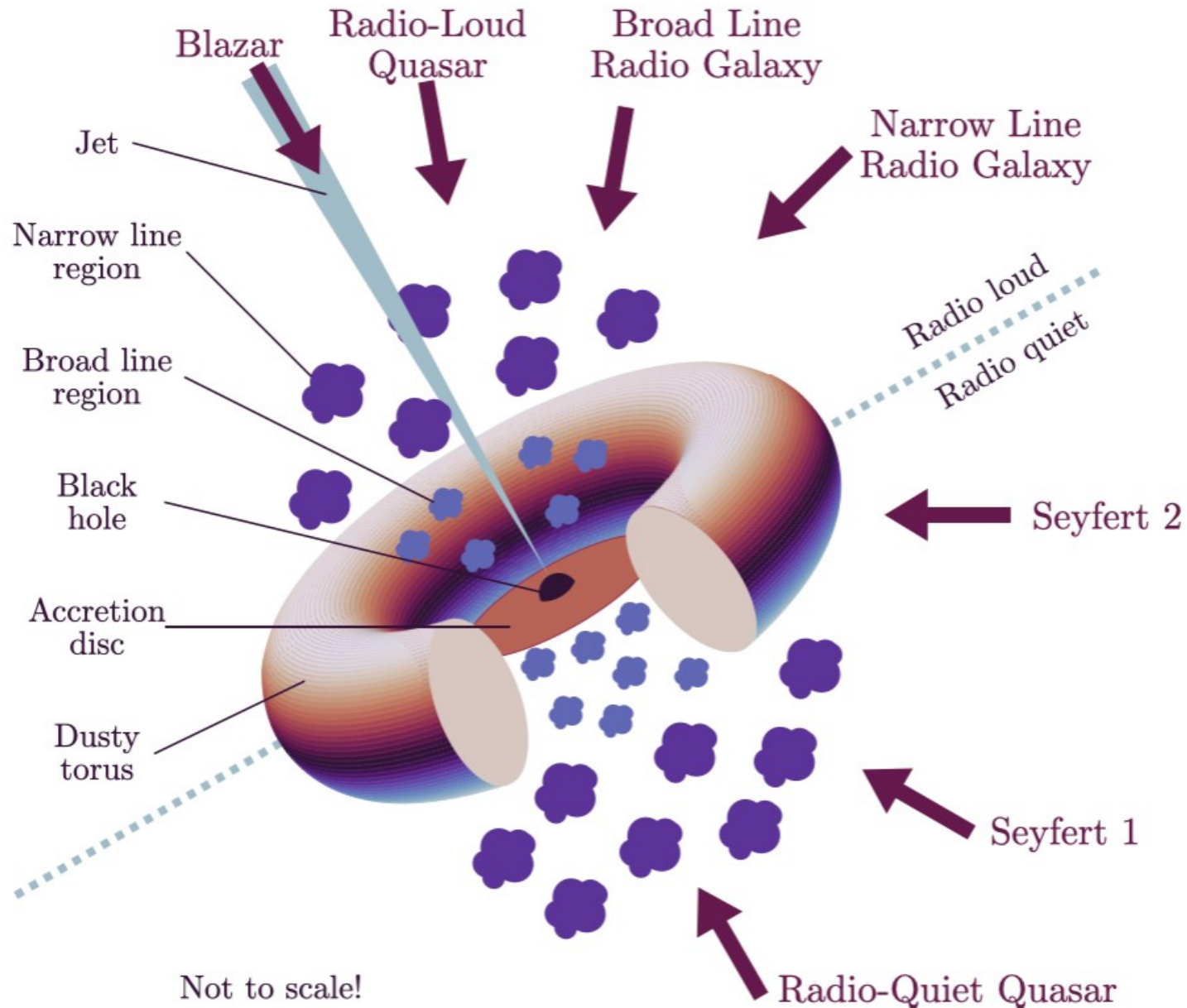
Energia

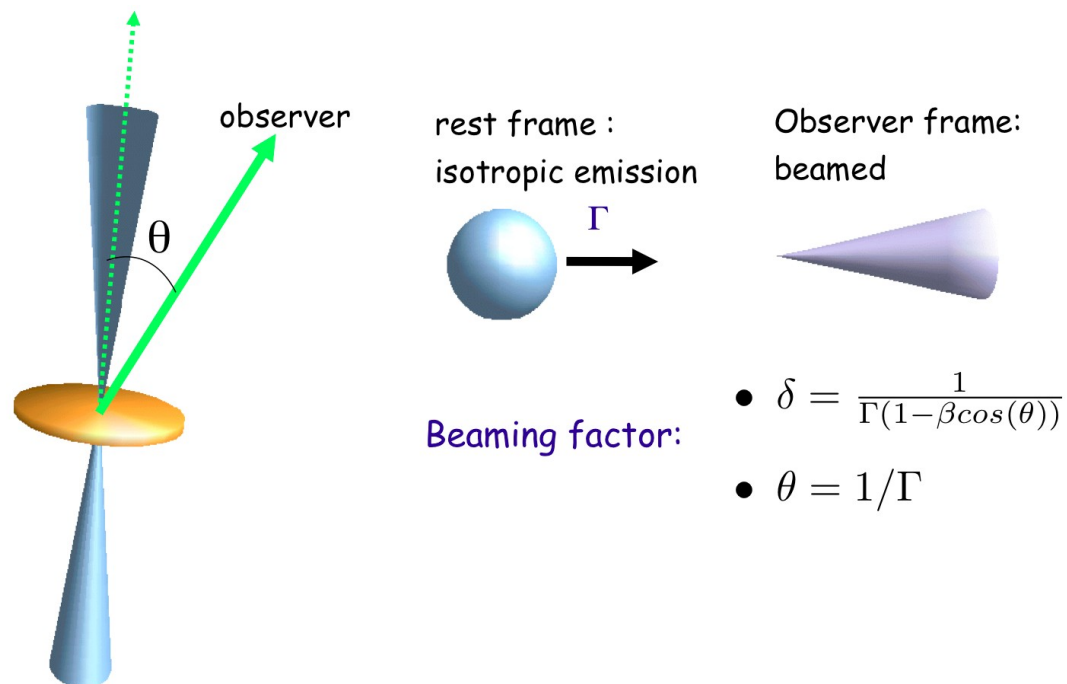
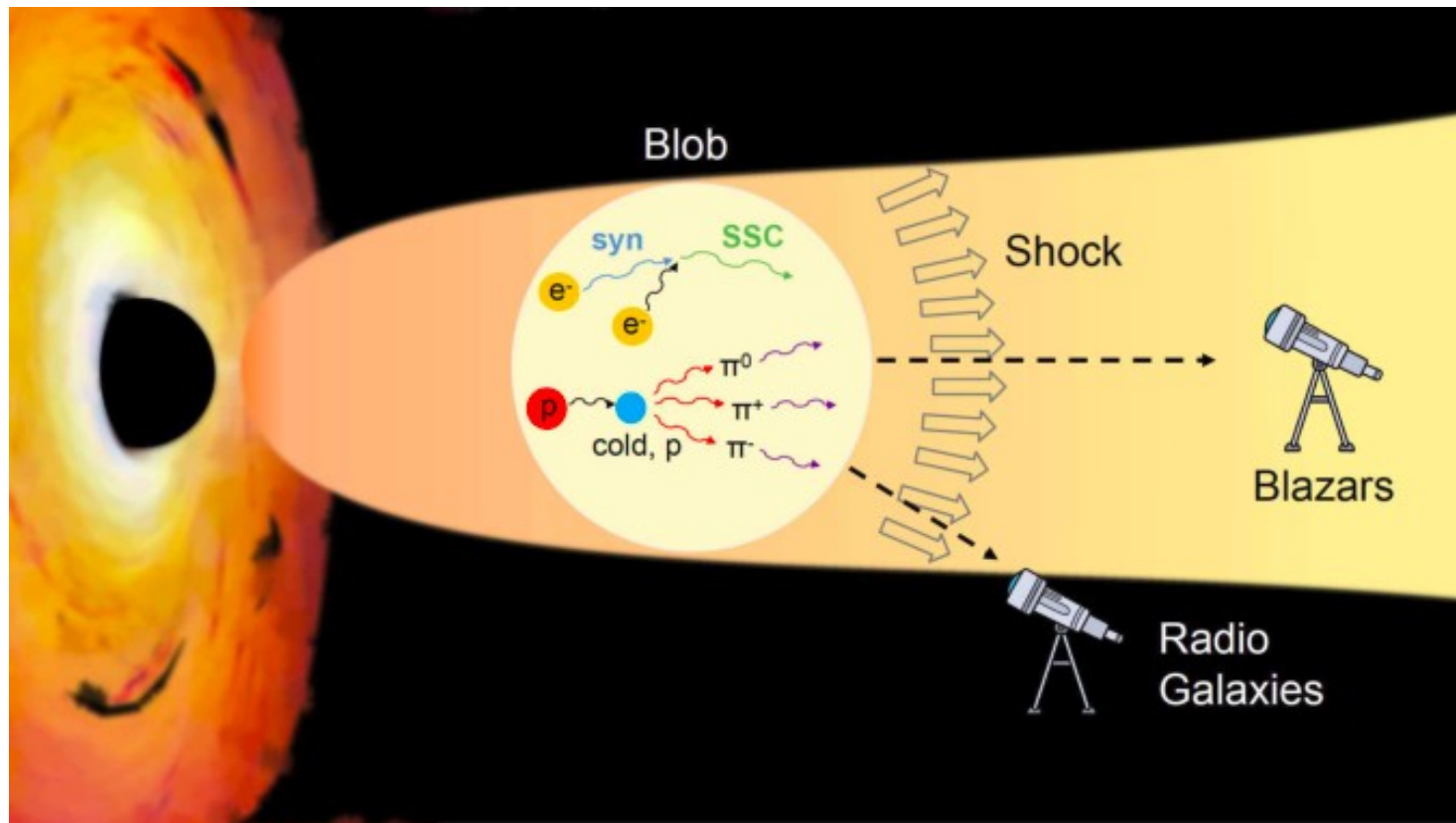
eV 10^{-10} 10^{-9} 10^{-8} 10^{-7} 10^{-6} 10^{-5} 10^{-4} 10^{-3} 10^{-2} 10^{-1} 1 10^1 10^2 10^4 10^6 10^8 10^{10}

ASTROFÍSICA MULTIMENSAGEIRA



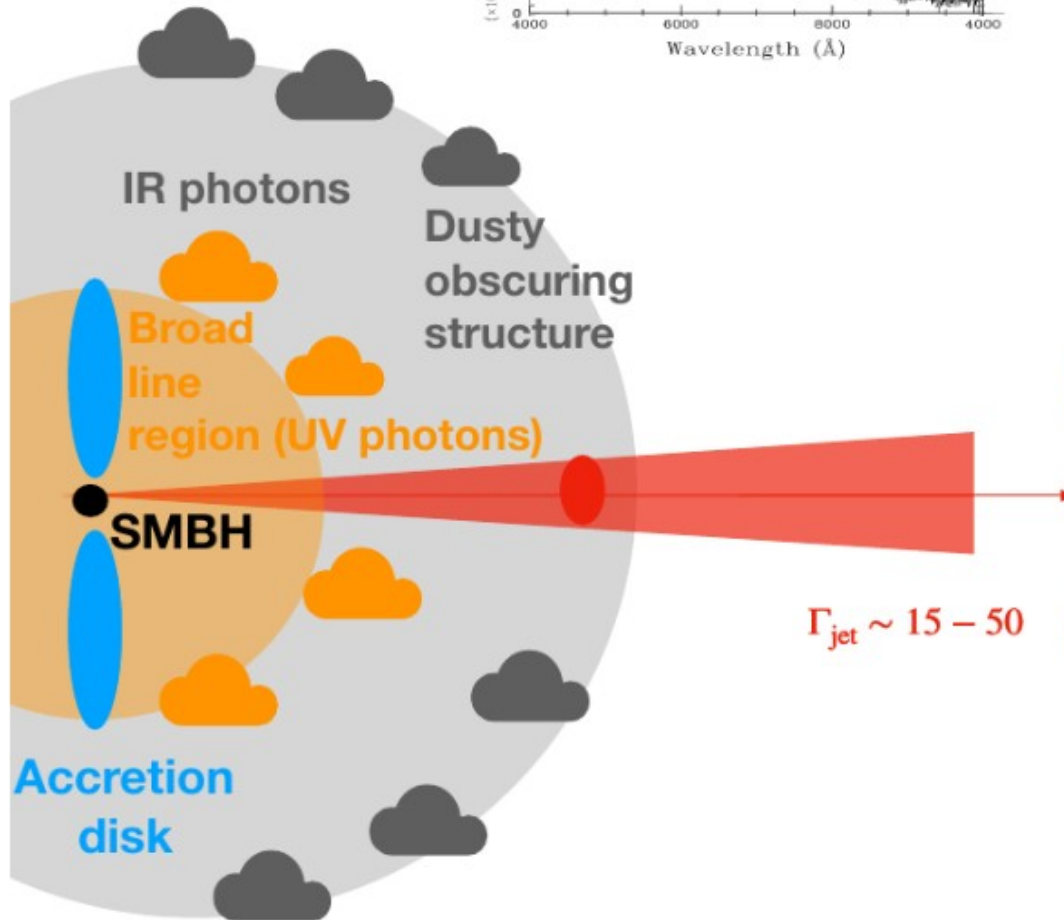
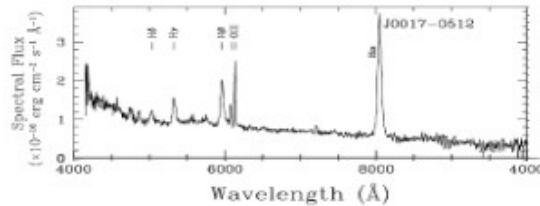
NÚCLEO ATIVO DE GALÁXIA (AGN)





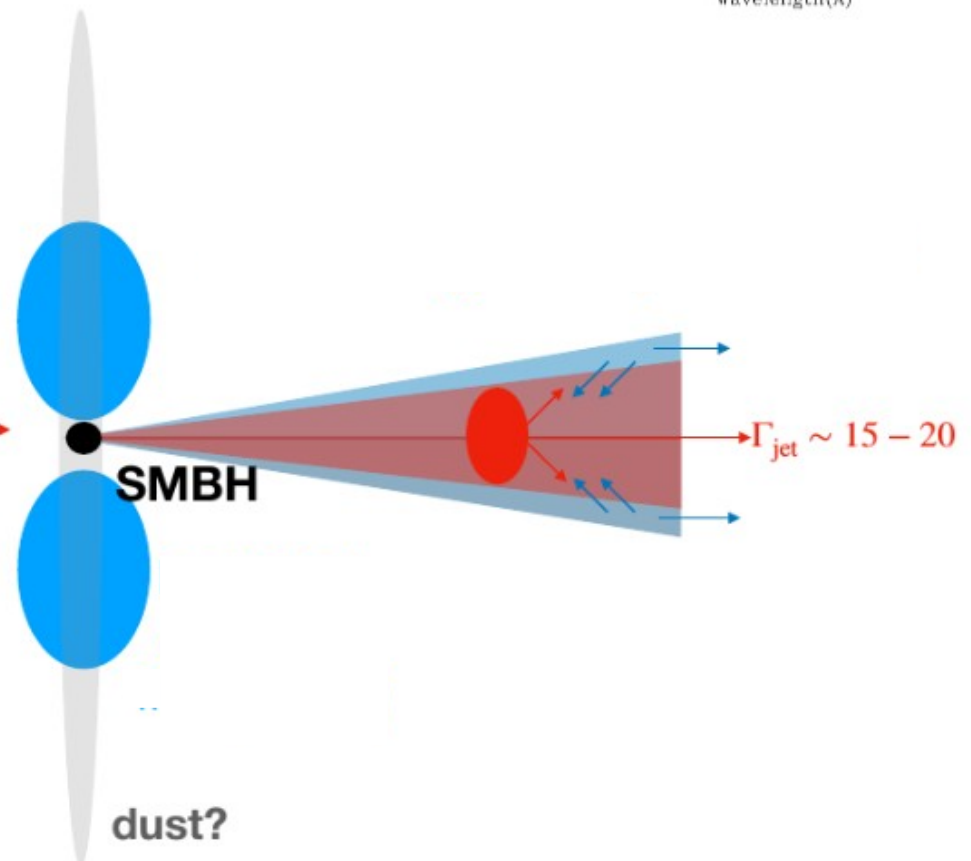
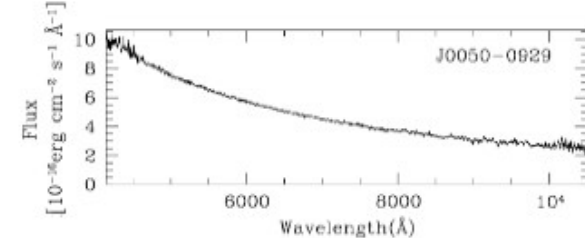
CLASSES DE BLAZARES

FSRQs



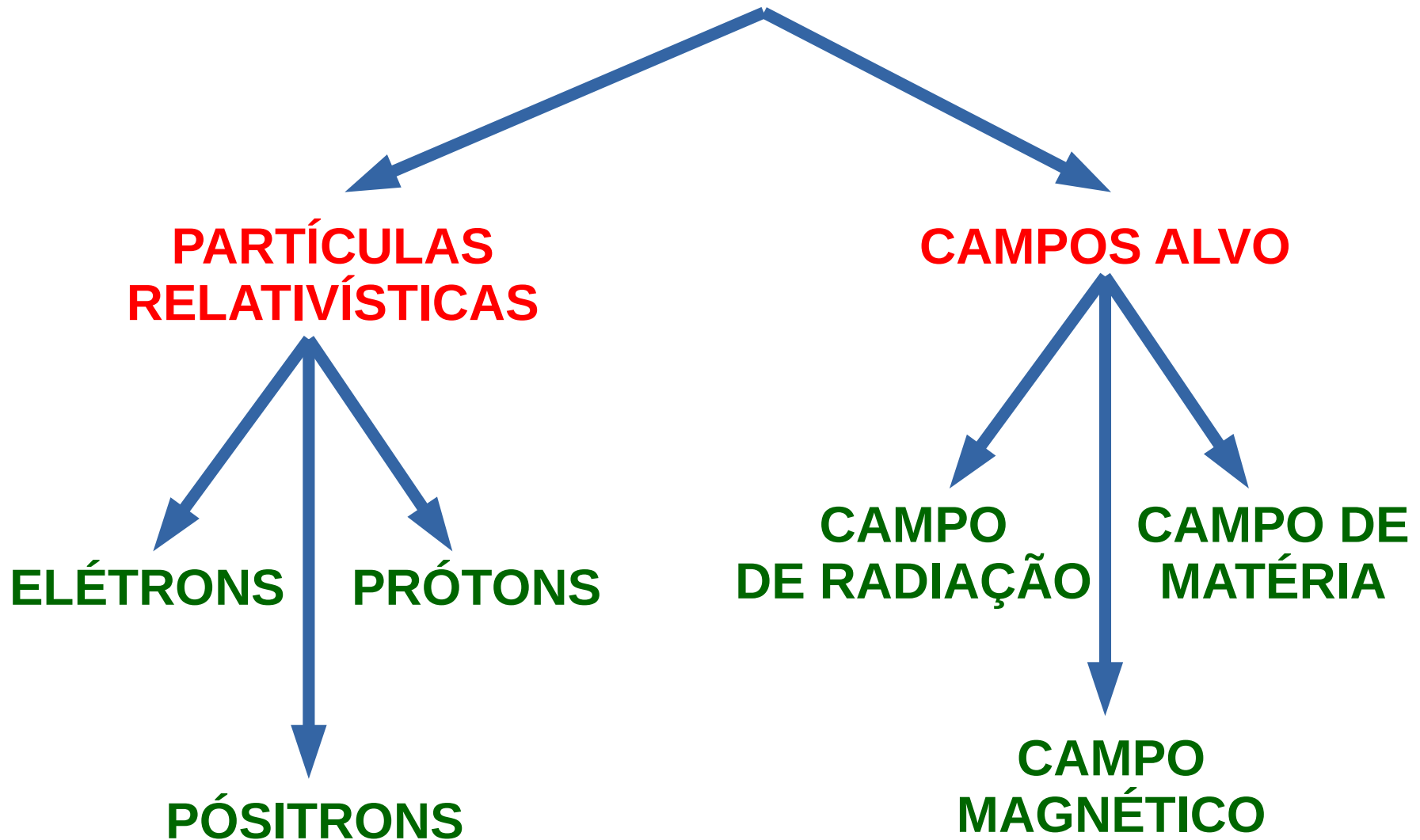
- Emissão de linhas largas no espectro óptico;
- Eficiência na emissão de radiação do disco;
- Acresção de matéria a taxas de Eddington;
- Alta potência do jato e luminosidade de raios gama.

BL Lacs



- Fraca ou pouca emissão de linhas largas no espectro óptico;
- Ineficiência na emissão de radiação do disco;
- Acresção de matéria a sub-taxas de Eddington;
- Baixa potência do jato e luminosidade de raios gama.

PRODUÇÃO DE RADIAÇÃO EM AMBIENTES ASTROFÍSICOS



PRODUÇÃO DE RADIAÇÃO EM JATOS RELATIVÍSTICOS

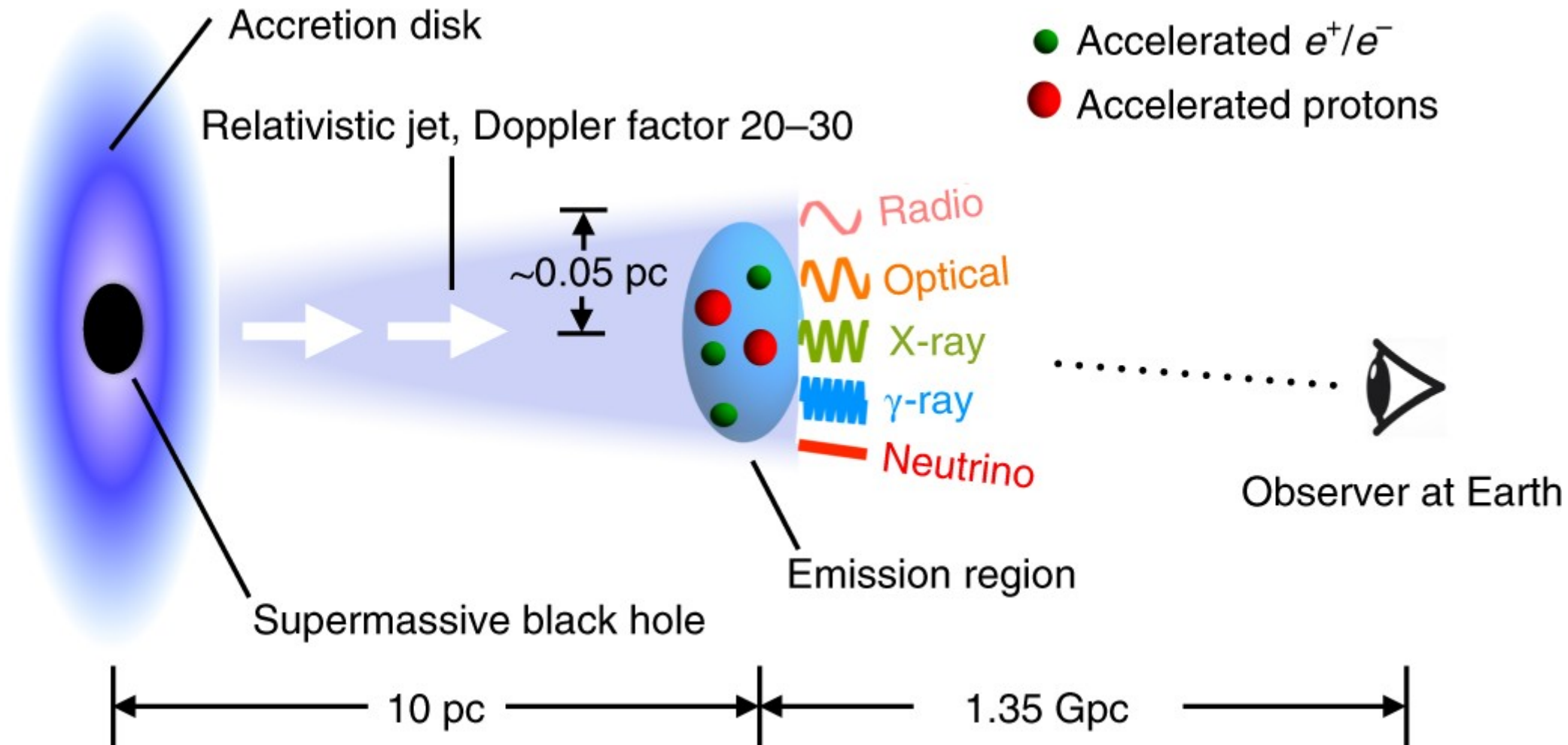
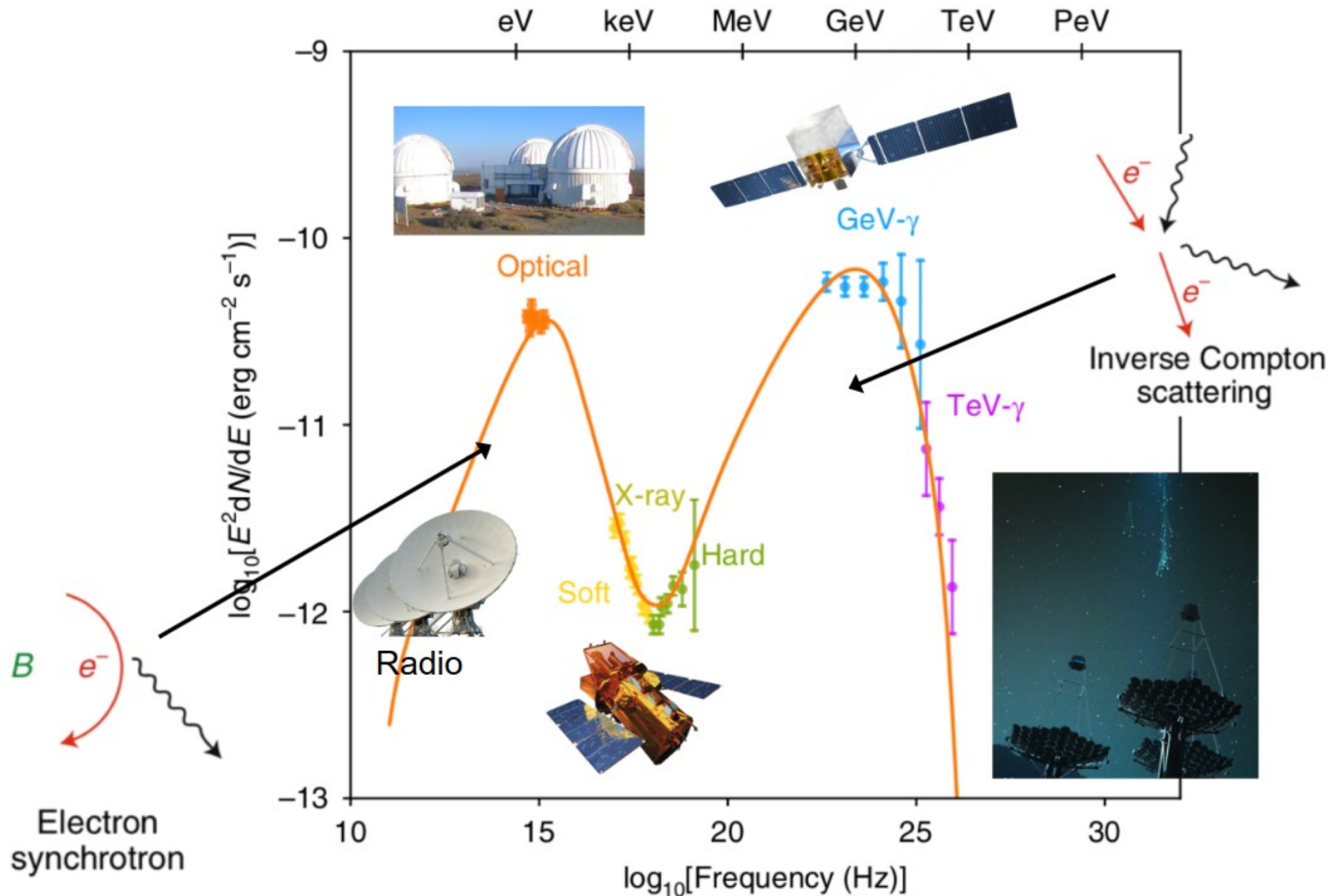
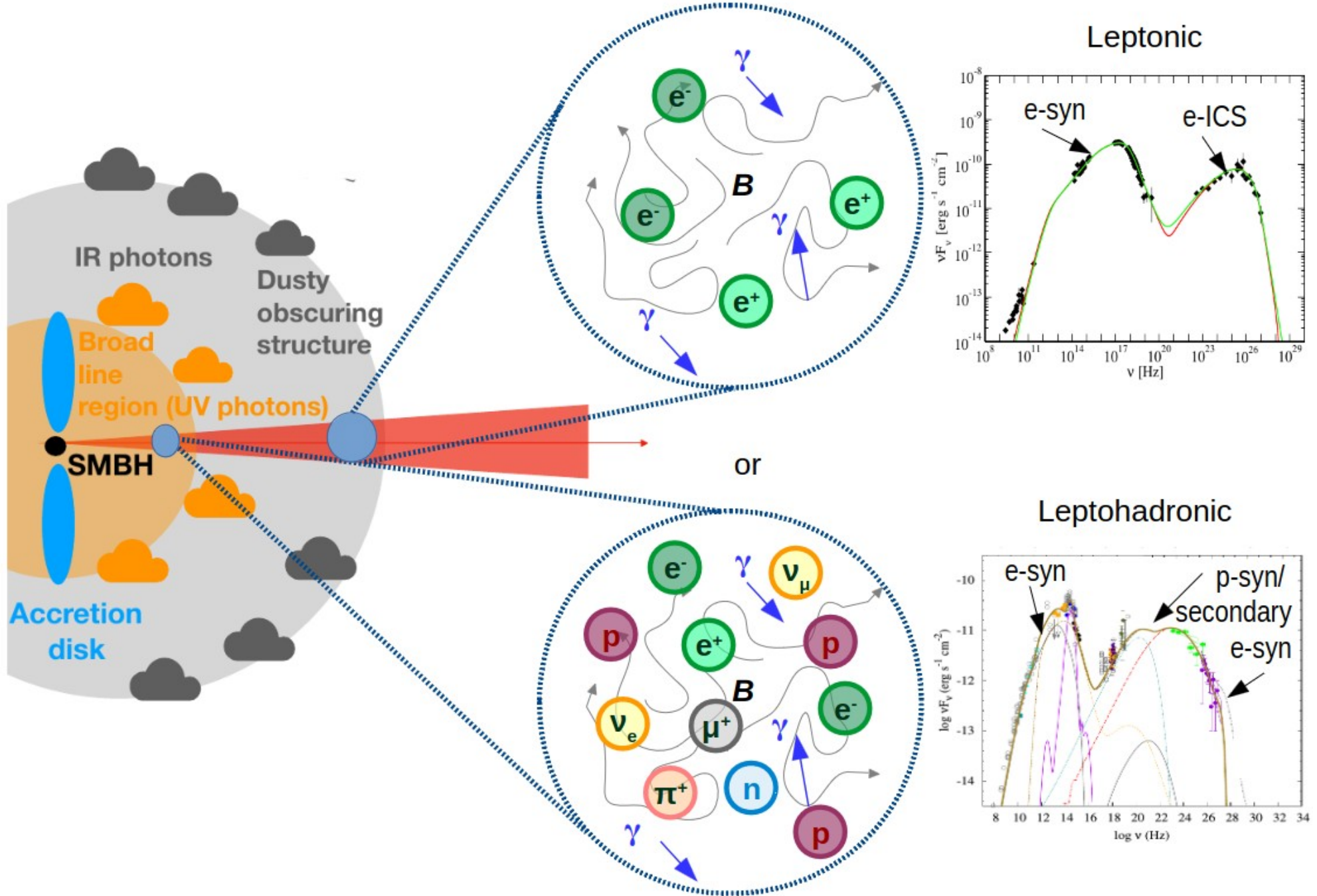


IMAGEM ELETROMAGNÉTICA DE BLAZARES



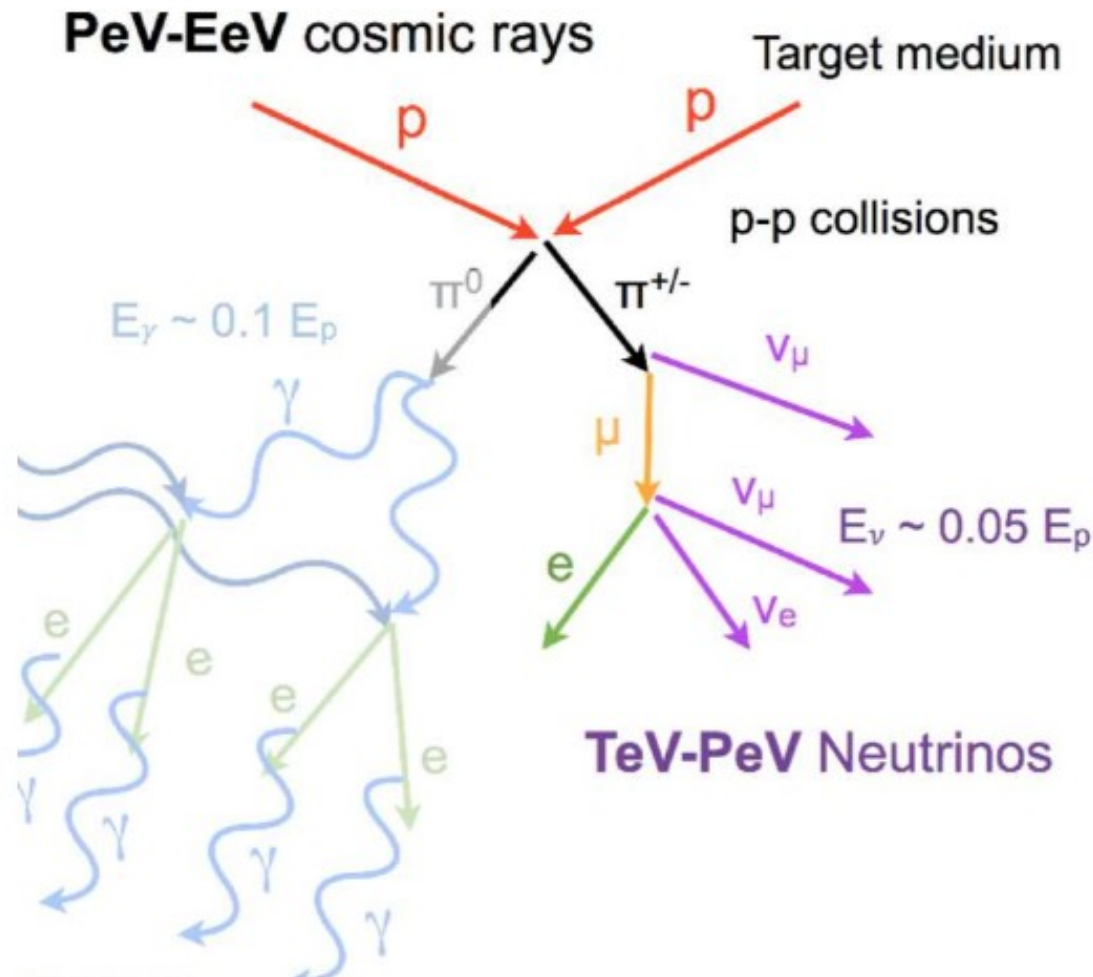
MODELOS DE EMISSÃO CONSIDERANDO UMA ÚNICA ZONA



EMIÇÃO HADRÔNICA EM JATOS RELATIVÍSTICOS – PRODUÇÃO DE NEUTRINOS

DENSE GAS

Colisão pp



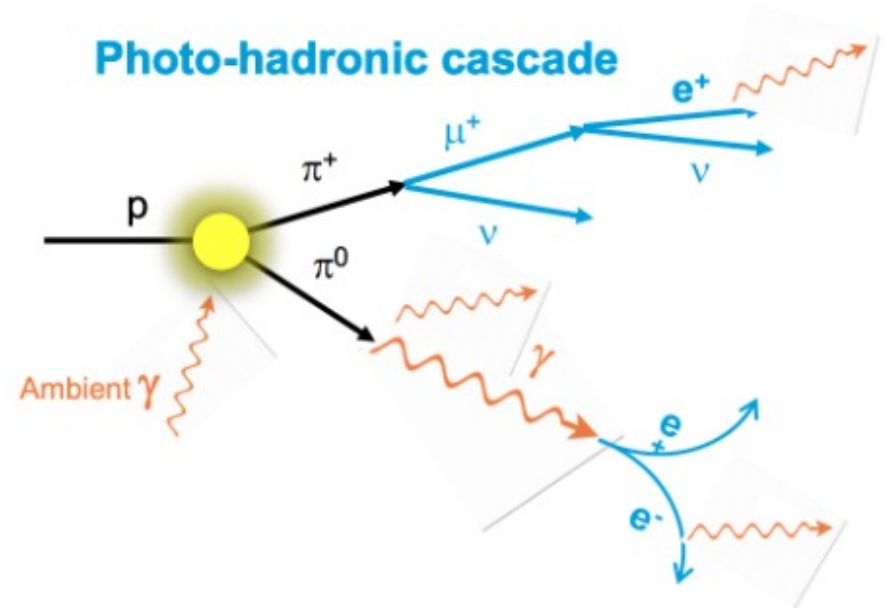
EMISSÃO HADRÔNICA EM JATOS RELATIVÍSTICOS – PRODUÇÃO DE NEUTRINOS

Interação
fotohadrônica/fotopíon (p γ)

DENSE PHOTON FIELDS

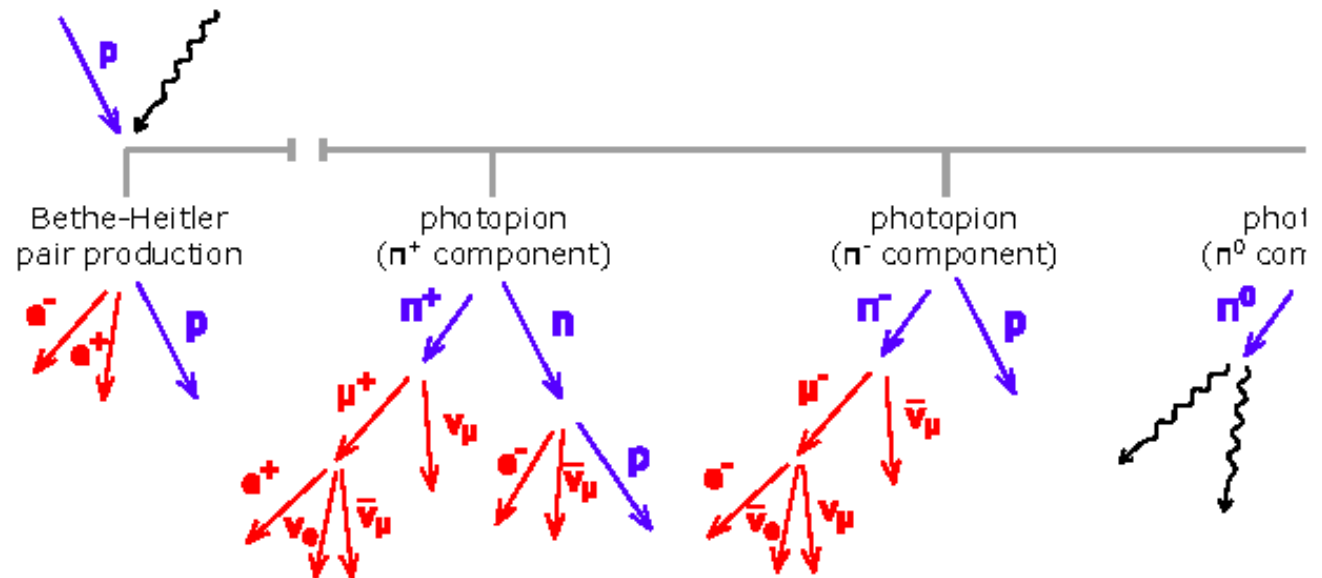
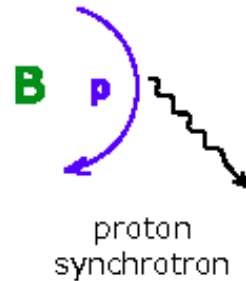
$$p + \gamma \rightarrow p/n + \pi^{\pm}, \pi^0 \rightarrow 2\gamma + 2\nu_{\mu} + \nu_e$$

100 TEV NEUTRINO \longrightarrow 2 PEV PROTON

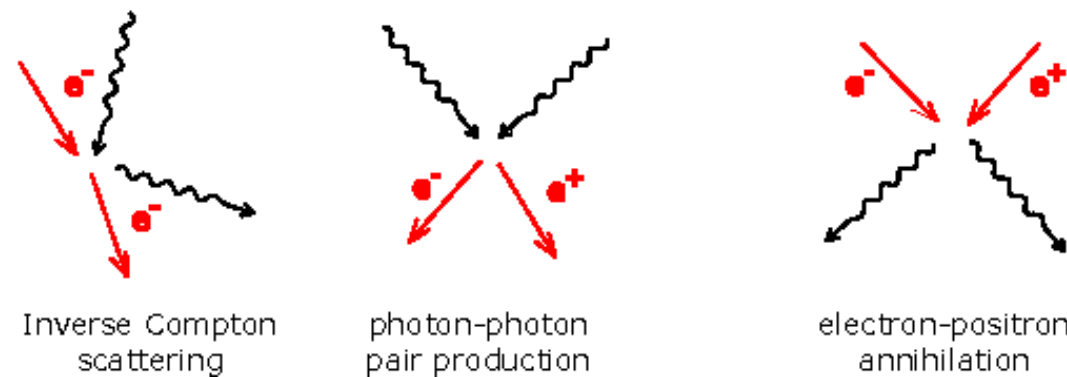
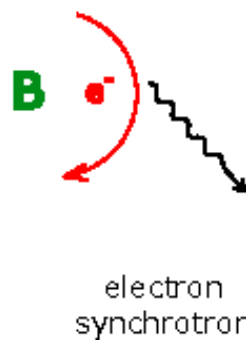


PRODUÇÃO DE RADIAÇÃO EM JATOS RELATIVÍSTICOS DE AGNs

hadronic

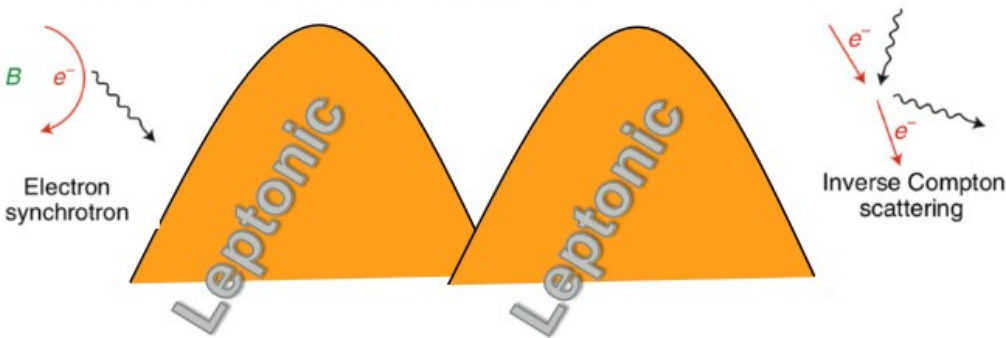


leptonic

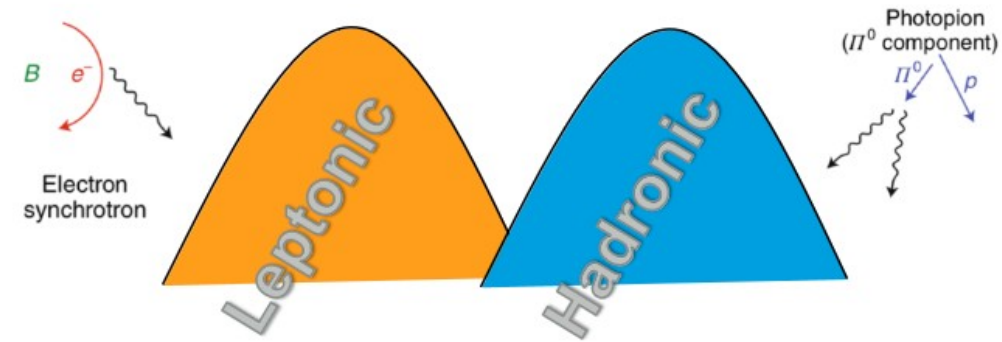


MODELOS DE DISTRIBUIÇÃO DE ENERGIA ESPECTRAL (QUALITATIVO)

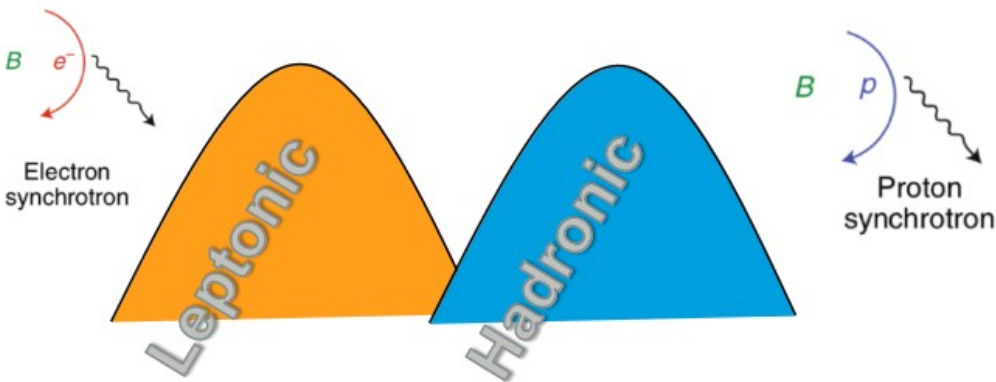
- Synchrotron self-Compton (SSC) or external Compton (EC) models



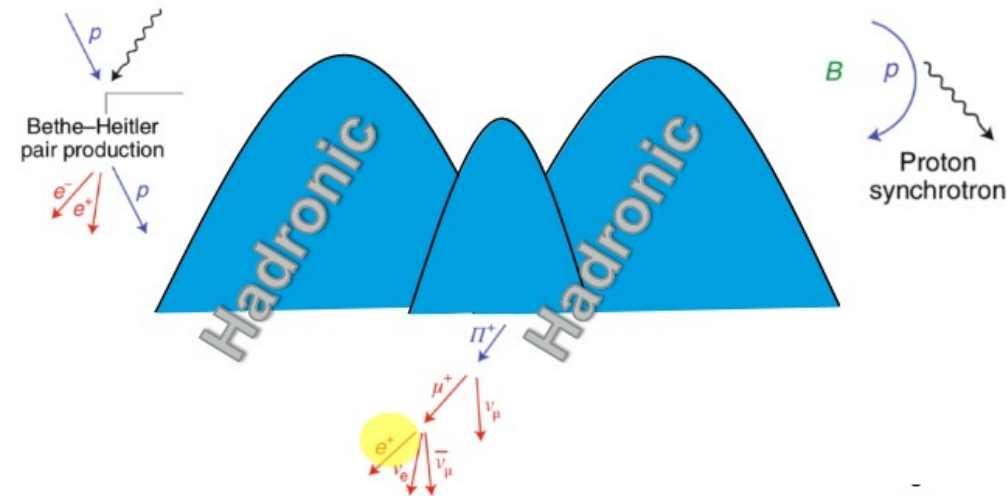
- Pion cascade models



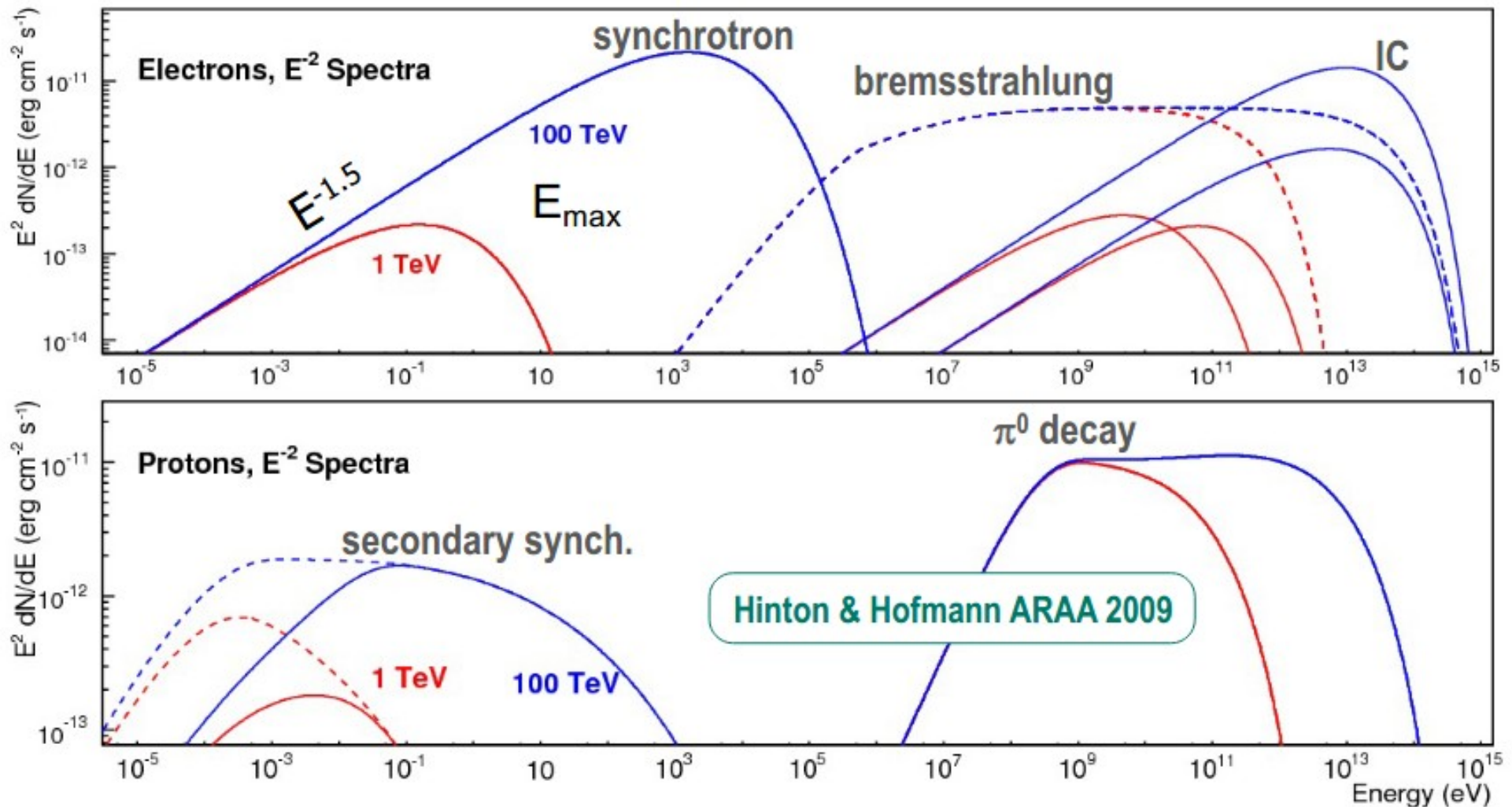
- Proton synchrotron models (require large B')



- More exotic hadronic models, for example:

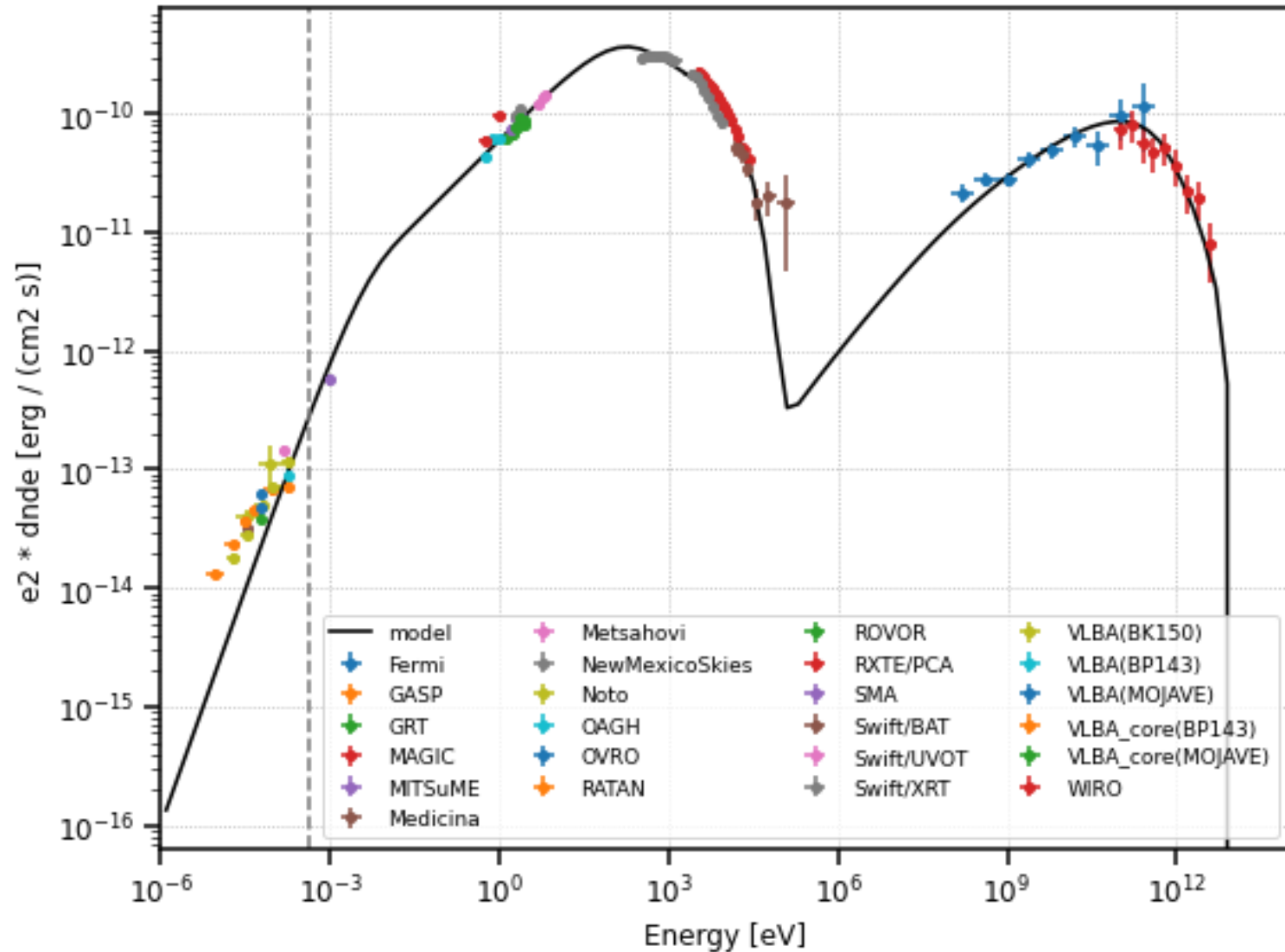


ESPECTRO DE EMISSÃO DE AGN DEVIDO A PROCESSOS LEPTÔNICOS E HADRÔNICOS

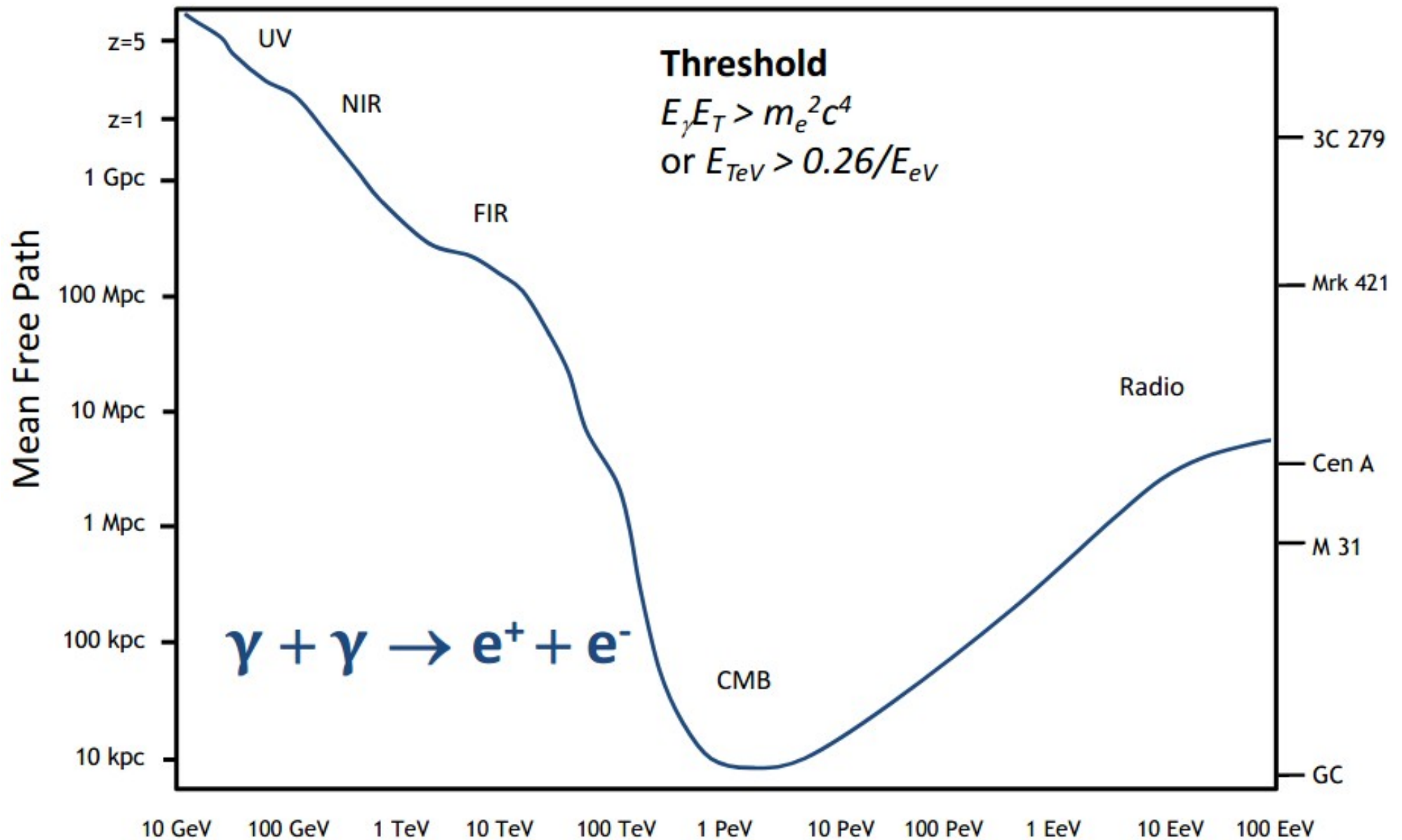


ESPALAHAMENTO COMPTON INVERSO E DECAIMENTO DO PÍON NEUTRO SÃO OS PROCESSOS DOMINANTES NA FAIXA DE TeV

ESPECTRO DE EMISSÃO DE UM BLAZAR

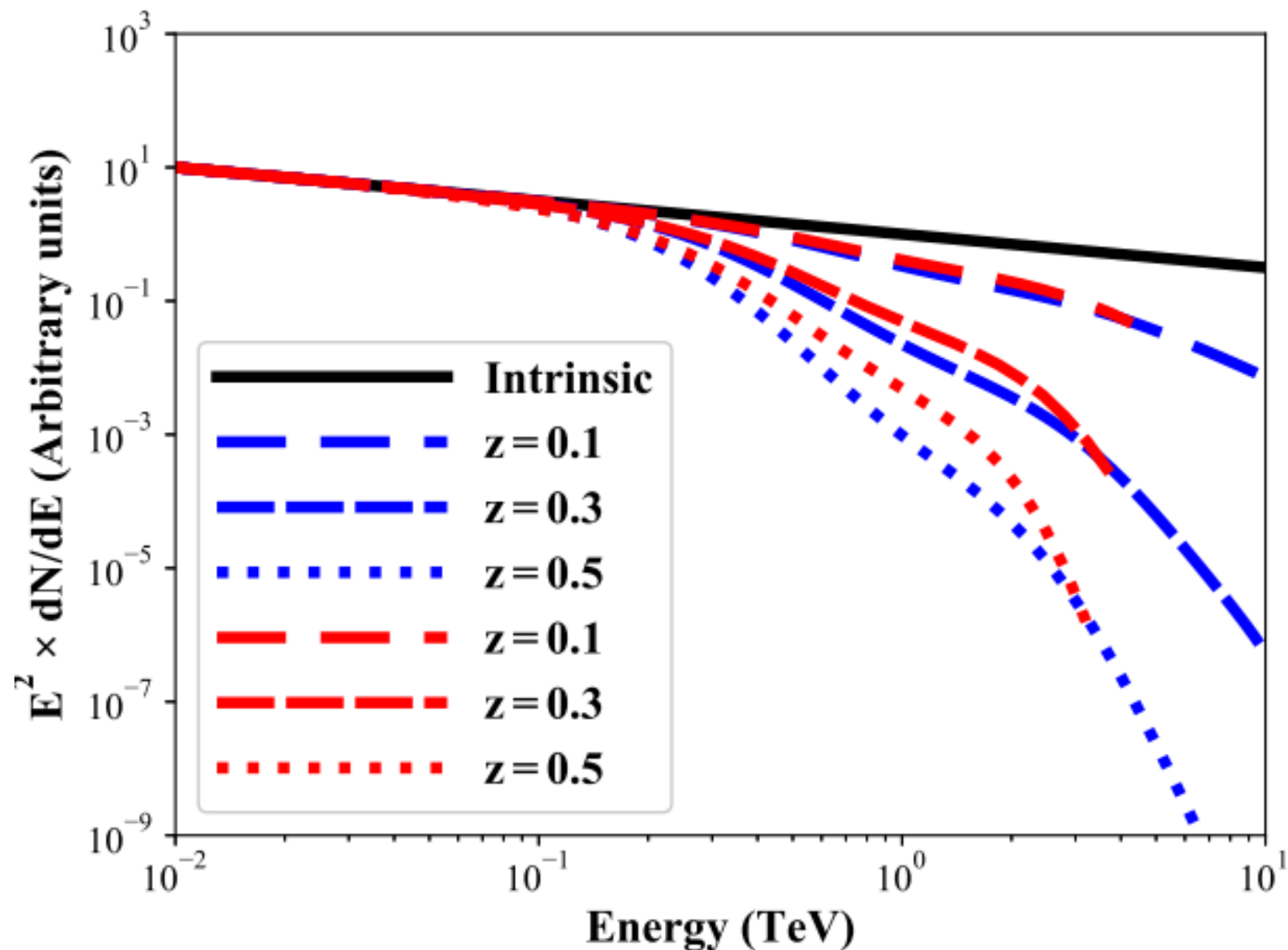


PROPAGAÇÃO DE RAIOS GAMA

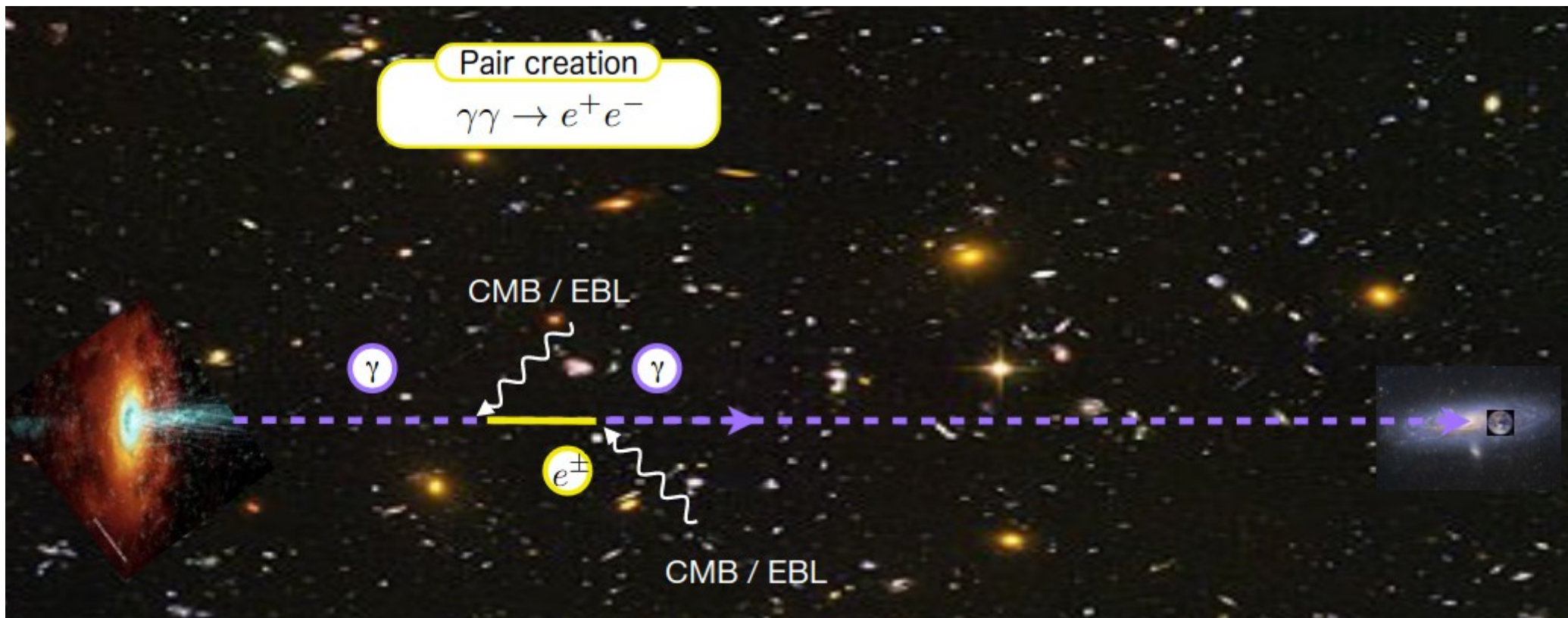


ATENUAÇÃO DO ESPECTRO DE RAIOS GAMA POR EBL

$$\Phi(E) = e^{-\tau_{\gamma\gamma}} \Phi_0(E)$$



CASCATA INDUZIDA POR RAIOS GAMA



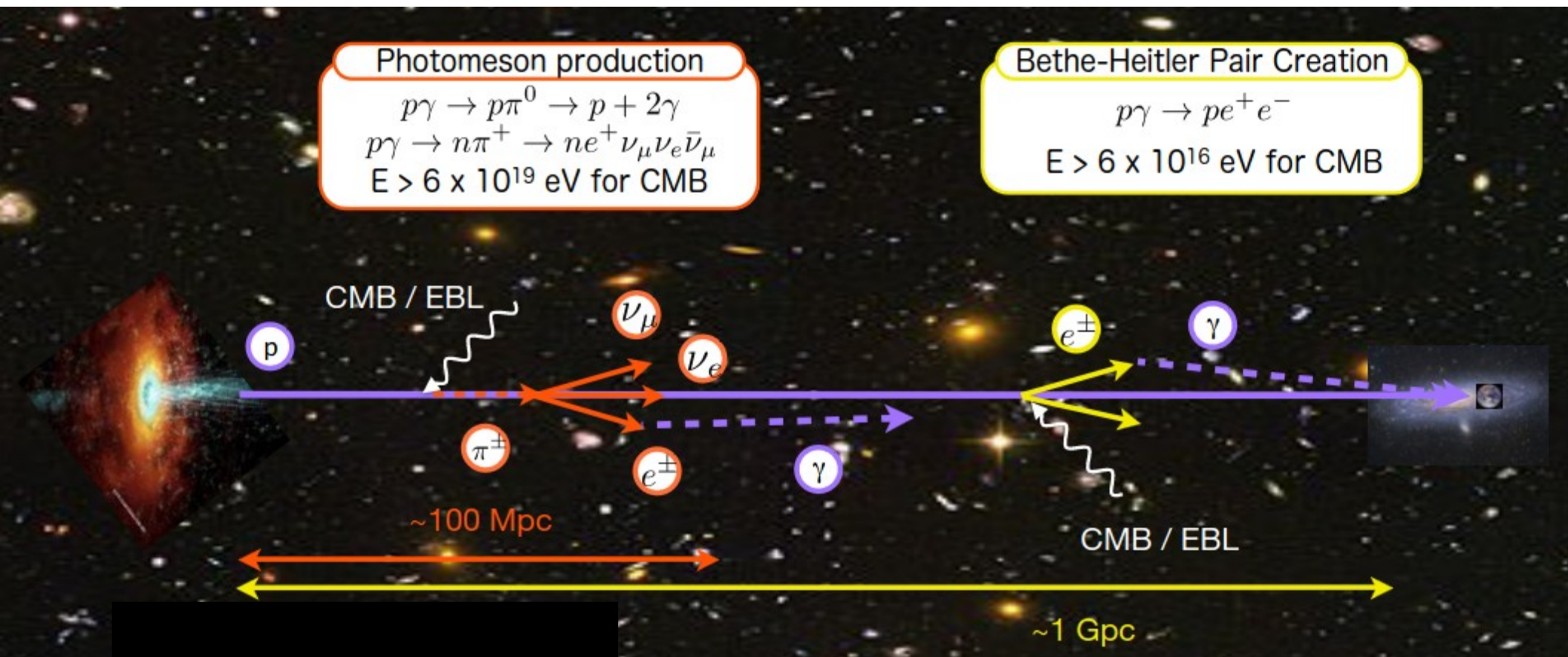
CASCATA INDUZIDA POR RAIOS CÓSMICOS

Photomeson production

$$\begin{aligned} p\gamma &\rightarrow p\pi^0 \rightarrow p + 2\gamma \\ p\gamma &\rightarrow n\pi^+ \rightarrow ne^+\nu_\mu\nu_e\bar{\nu}_\mu \\ E &> 6 \times 10^{19} \text{ eV for CMB} \end{aligned}$$

Bethe-Heitler Pair Creation

$$\begin{aligned} p\gamma &\rightarrow pe^+e^- \\ E &> 6 \times 10^{16} \text{ eV for CMB} \end{aligned}$$



PACOTES OPEN-SOURCE PARA MODELAGEM DA DISTRIBUIÇÃO DE ENERGIA ESPECTRAL

Software	Sources	Approach	Particles				Processes					Temp. ev.	Emission Region
			Thermal	Non-Thermal		Leptonic			Hadronic	Absorption			
				e^{\pm}	p	Synch.	SSC	EC	Brems.	pp	$\gamma\gamma$		
naima	PWN, SNR, GRB	numerical	✗	✓	✓	✓	✓	✓(CMB)	✓	✓ [†]	✓(EBL)	✗	not specified
GAMERA	PWN, SNR, AGN microquasars	numerical	✗	✓	✓	✓	✓	✓ [⊙]	✓	✓ [†]	✓ [*]	✓ (only cool.)	multiple uniform
Jetset	jetted AGN, PWN microquasars, SNR	numerical	✗	✓	✓	✓	✓	✓	✓	✓ [‡]	✓(EBL)	✓ (acc. + cool.)	multiple uniform acc. + rad.
agnpy	jetted AGN	numerical	✗	✓	✗	✓	✓	✓ [*]	✗	✗	✓ [*]	✗	single uniform
BHJet	binaries, AGN	numerical semi-analytical	✓	✓	✗	✓	✓	✓	✗	✗	✗	✗	whole jet
FLAREMODEL	synch. sources	numerical ray-tracing	✓	✓	✗	✓	✓	✗	✗	✗	✗	✓ (only cool.)	single radial dep.

[†] pp interaction: computing only gammas from π_0 decay. [‡] pp interaction: computation of radiation from secondaries of charged pions (pairs evolved in time to equilibrium) and of ν spectra. [⊙] Full angular dependency of the Compton cross section: anisotropic electrons and anisotropic photon fields. ^{*} Full angular dependency of the Compton or $\gamma\gamma$ cross sections: anisotropic photon fields.

Physical Processes	Codes			
	AM3	ATHEvA	B13	LeHa-Paris
electron synchrotron radiation	✓	✓	✓	✓
synchrotron self-absorption	✓	✓	✓	✓
electron inverse Compton scattering	✓	✓	✓	✓
electron-positron annihilation	✓	✓	✓	✗
photon-photon pair production	✓	✓	✓	✓
triplet pair production	✗	✓	✗	✗
proton synchrotron radiation	✓	✓	✓	✓
proton inverse Compton scattering	✓	✗	✗	✗
proton-photon pair production	✓	✓	✓	✓
neutron-photon pion production	✓	✓	✗	✗
kaon synchrotron radiation	✗	✓	✗	✗
pion synchrotron radiation	✓	✓	✗	✗
muon synchrotron radiation	✓	✓	✗	✓

AGNPY

AGNpy é um pacote Python open-source para modelar os processo radioativos em AGNs.

Docs » agnpy docs [Edit on GitHub](#)

Search docs

Non-thermal Electrons Spectra
Emission Regions
Synchrotron Radiation
Photon Targets for External Compton
Tutorial: Energy Densities of the Photon Targets
A note on dust torus thermal emission
Inverse Compton
Tutorial: Synchrotron and Synchrotron Self Compton
Tutorial: External Compton scattering
Absorption by γ - γ pair production
Tutorial: γ - γ Absorption in the Photon Fields of Line and Thermal Emitters
Calculations of Energy Densities, Inverse Compton SEDs and γ

νF_ν

AGNpy

agnpy docs

agnpy focuses on the numerical computation of the photon spectra produced by leptonic radiative processes in jetted Active Galactic Nuclei (AGN).

Description

References

WRITE THE DOCS

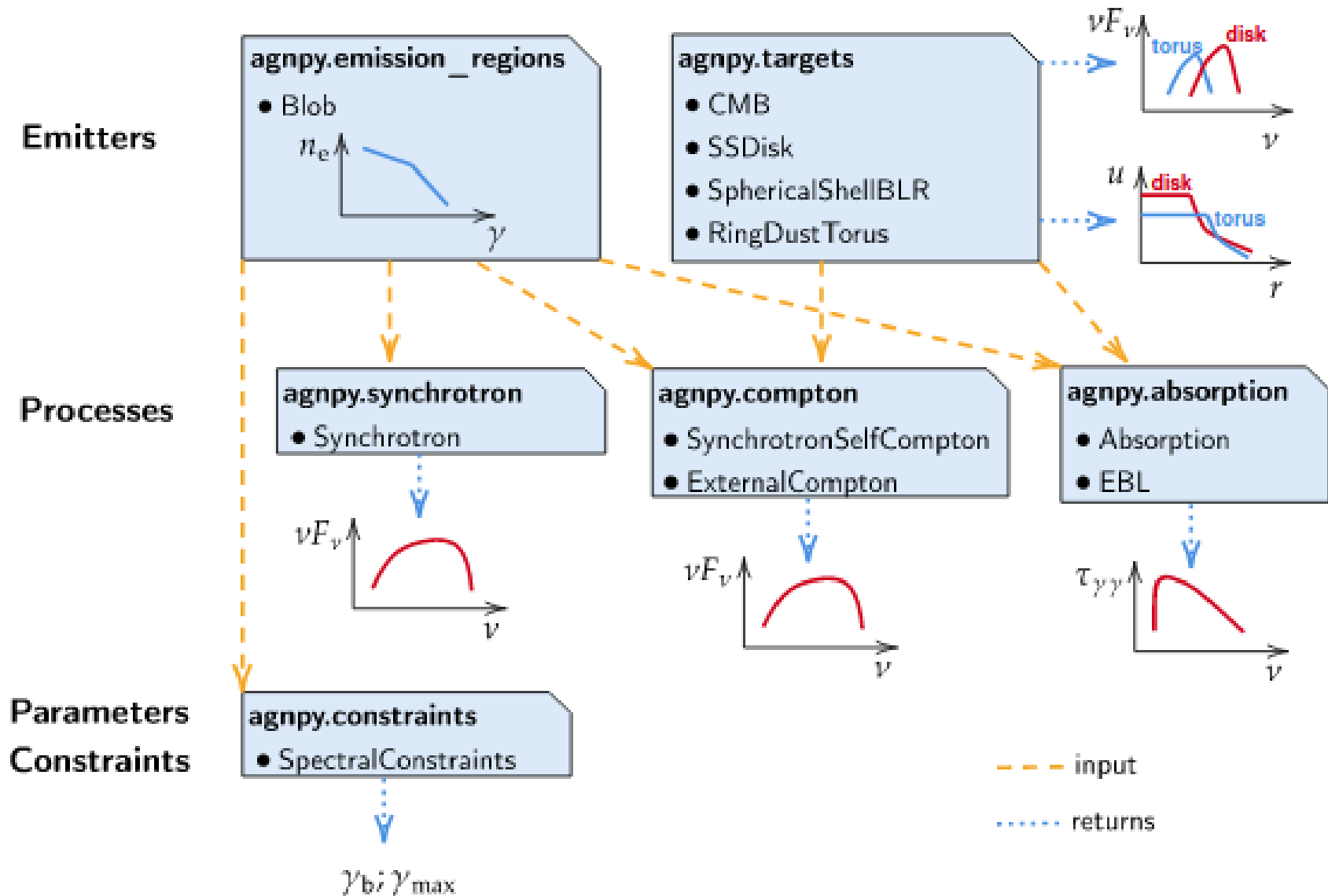
Love Documentation?
Write the Docs is for people like you! Join our virtual conferences or Slack.

Ad by EthicalAds

Read the Docs v: latest

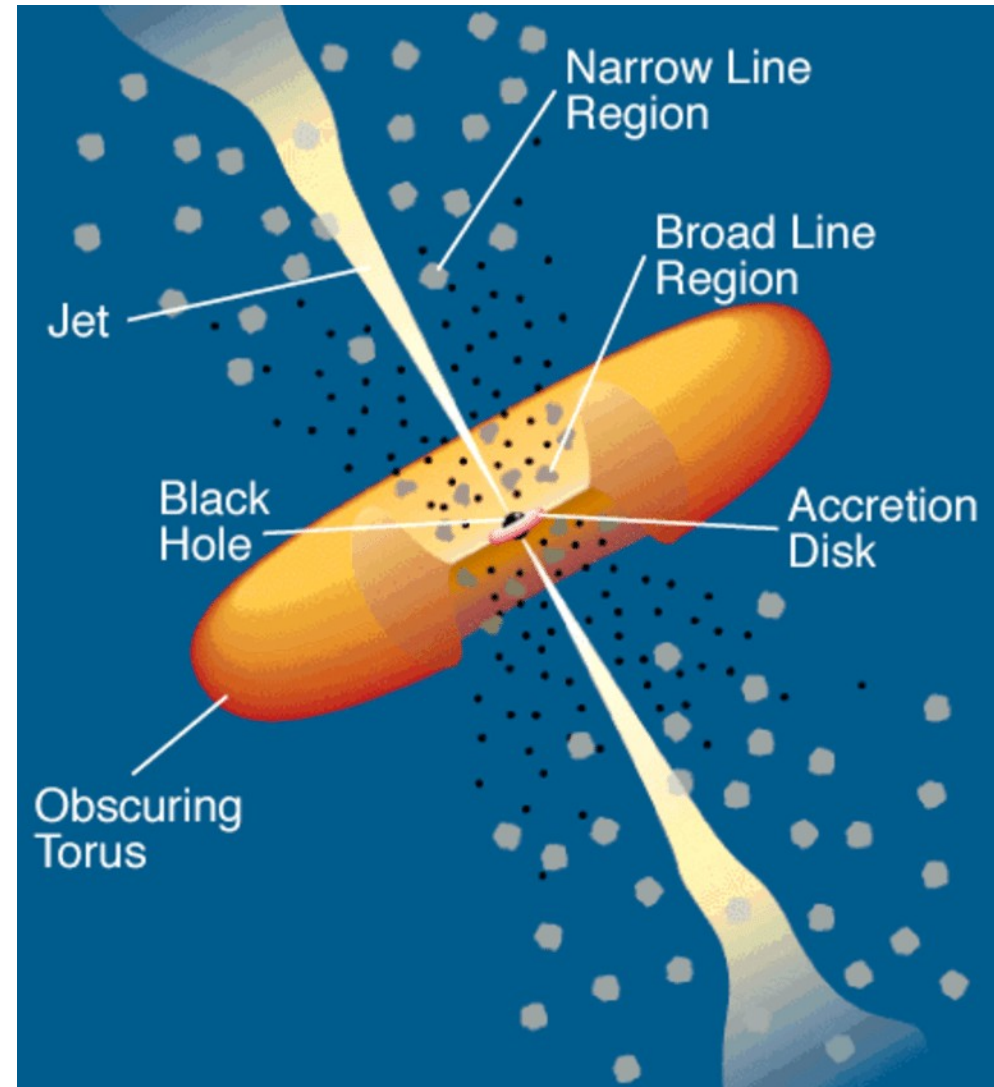
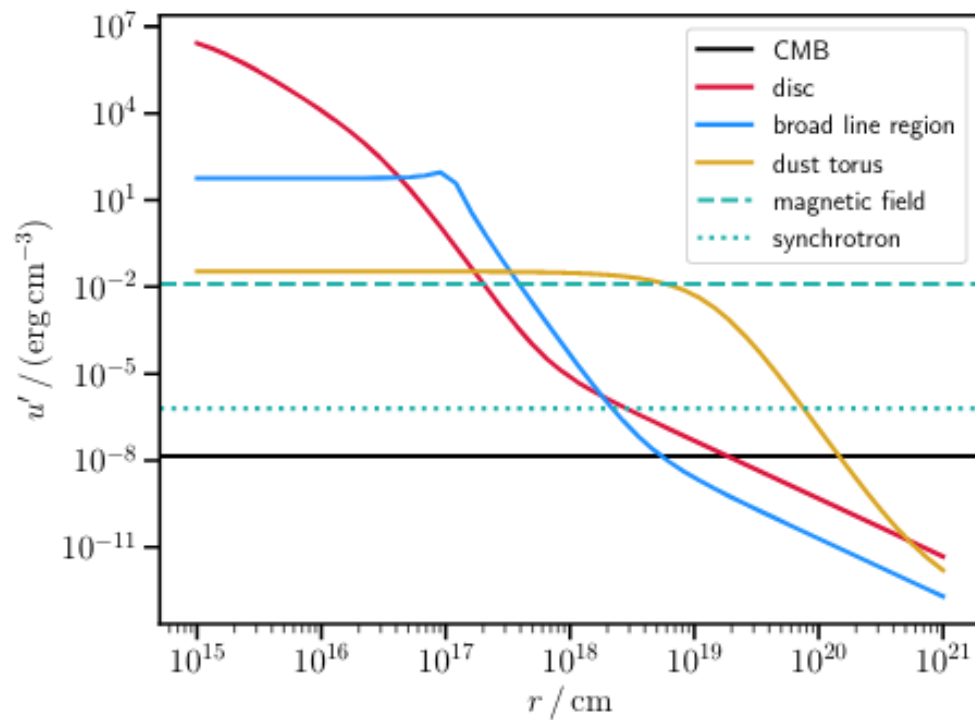
AGNPY

Representação esquemática dos módulos do AGNpy



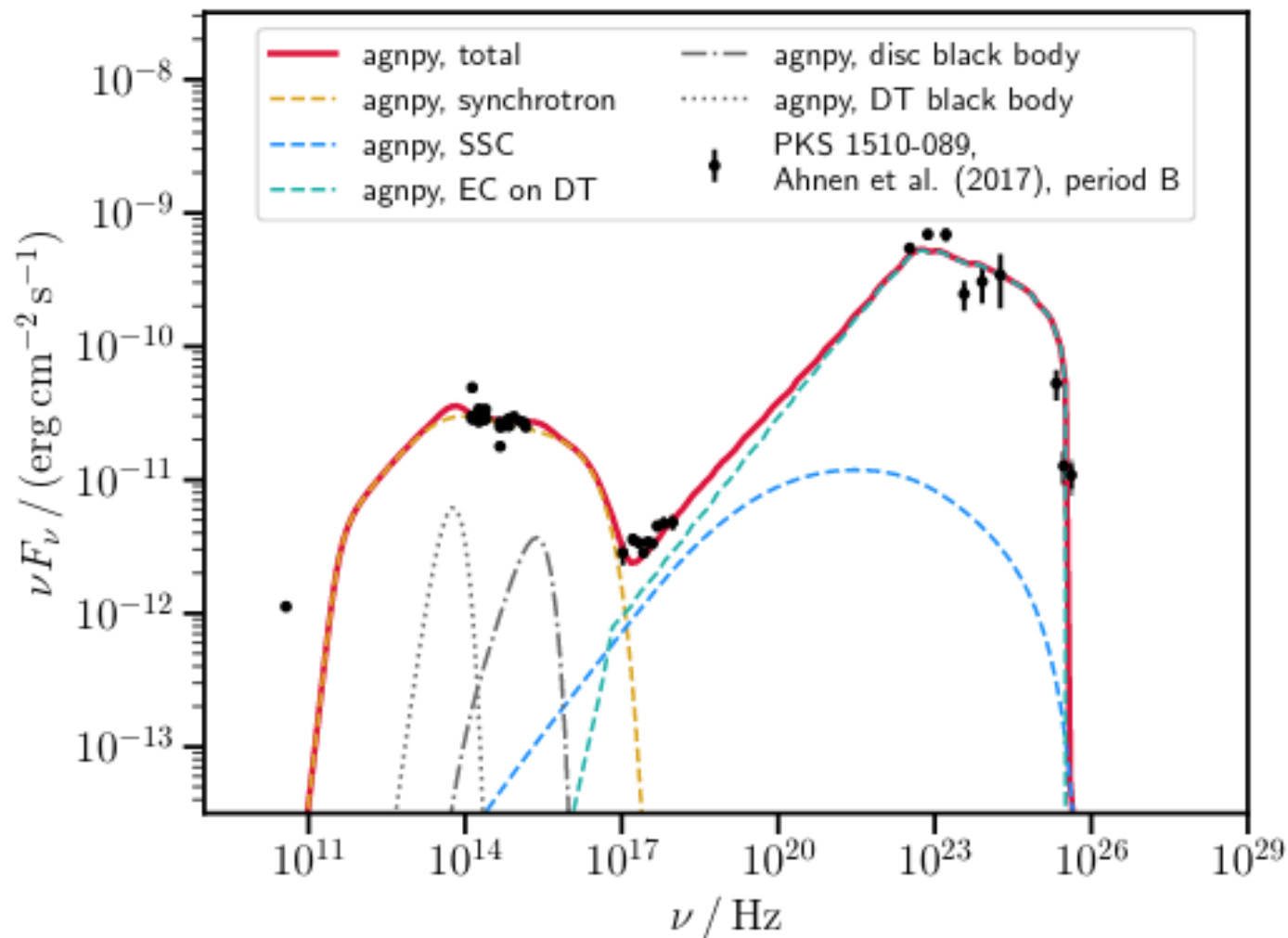
AGNPY

Densidades de energia de diferentes campos de fótons gerados pelo CMB, disk, BLR e anel de torus

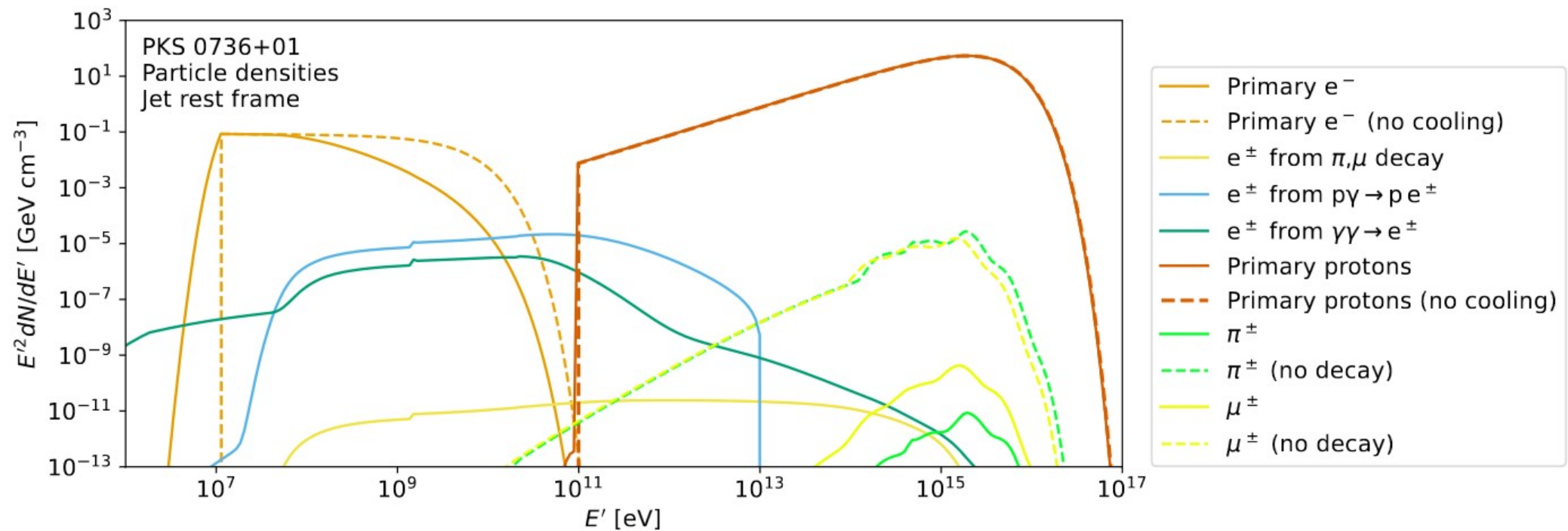


AGNPY

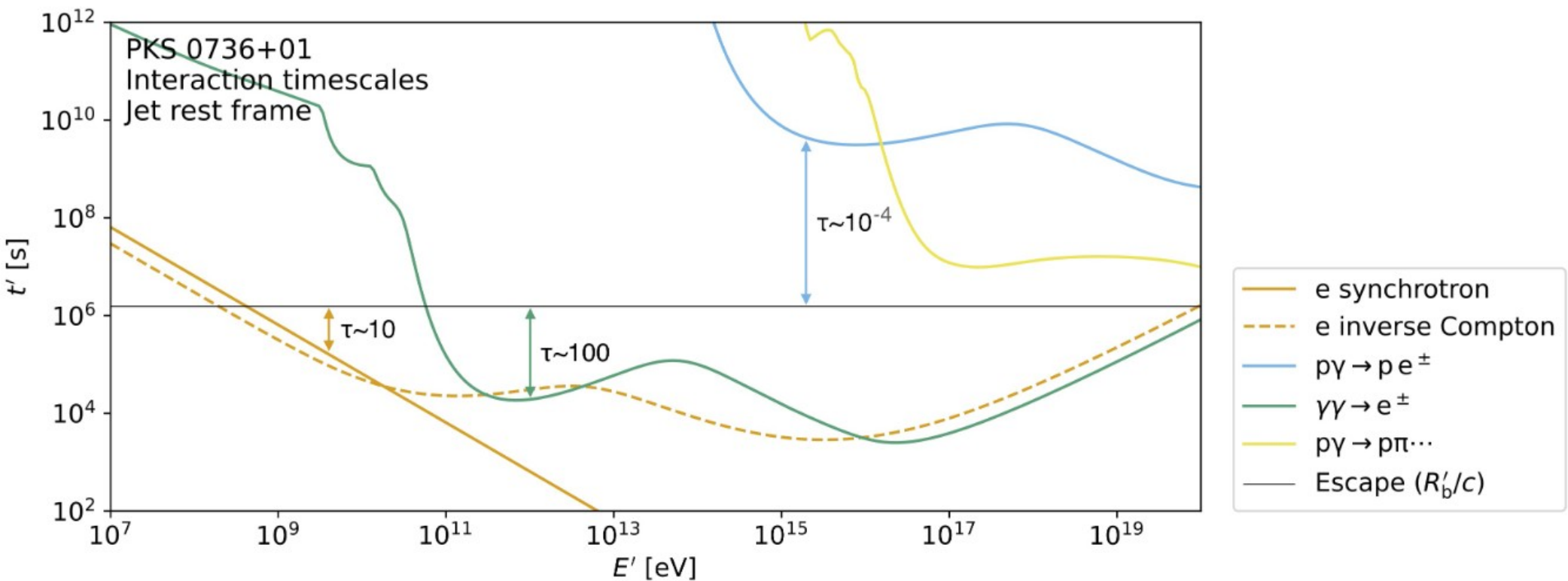
Distribuição de energia espectral (SED) da fonte PKS 1510-089 ajustado com o agnpy.



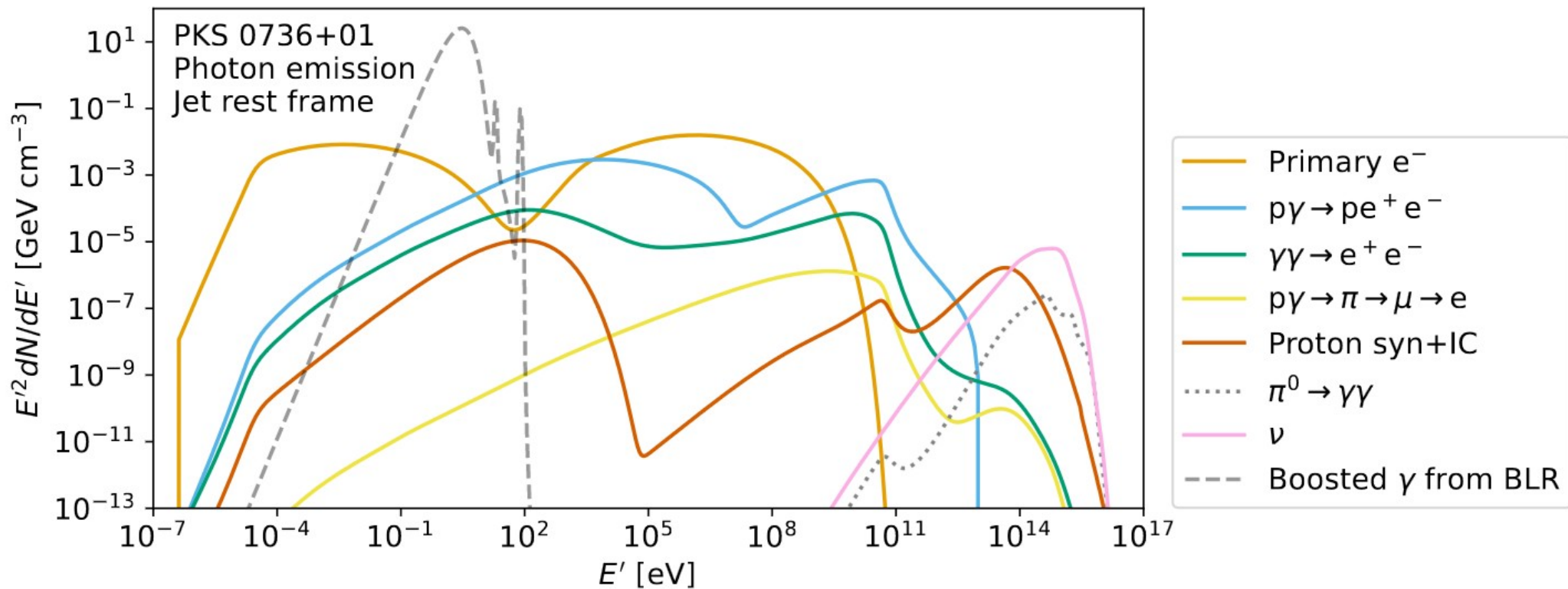
AM³: MODELAGEM LEPTO-HADRÔNICA DE FONTES ASTROFÍSICAS



AM³: MODELAGEM LEPTO-HADRÔNICA DE FONTES ASTROFÍSICAS



AM³: MODELAGEM LEPTO-HADRÔNICA DE FONTES ASTROFÍSICAS



PACOTES OPEN-SOURCE PARA MODELAGEM DE FONTES ASTROFÍSICAS

Katu: <https://github.com/hveerten/katu>

LeHaMoC: <https://github.com/mariapetro/LeHaMoC>

AM³: <https://am3.readthedocs.io/en/latest/>

Jetset: <https://jetset.readthedocs.io/en/latest/>

AGNpy: <https://agnpy.readthedocs.io/en/latest/>

GAMERA: <http://libgamera.github.io/GAMERA/>

NAIMA: <https://naima.readthedocs.io/en/latest/>

Flaremodel: <https://github.com/ydallilar/flaremodel>

Bjet_MCMC: https://github.com/Ohervet/Bjet_MCMC

OBRIGADO PELA ATENÇÃO!

